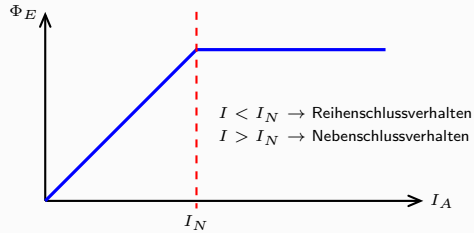


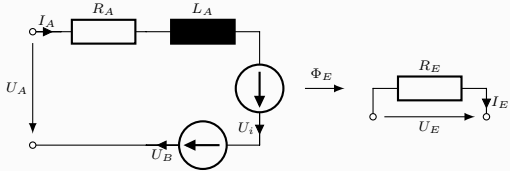


### 2.3. Verhalten



### 2.4. Gleichstrom-Nebenschlussmaschine

#### 2.4.1. ESB



#### 2.4.2. Drehmoment-Drehzahl-Kennlinie

$$n = \frac{U_A - 2 \cdot U_B}{k_U \cdot \Phi_E} - \frac{2\pi \cdot R_{A,res}}{(k_U \cdot \Phi_E)^2} \cdot M_i$$

#### 2.4.3. Wichtige Betriebspunkte

Anlaufmoment: ( $n = 0$ )  $M_{i,An} = k_M \cdot \Phi_E \cdot I_{A,An}$

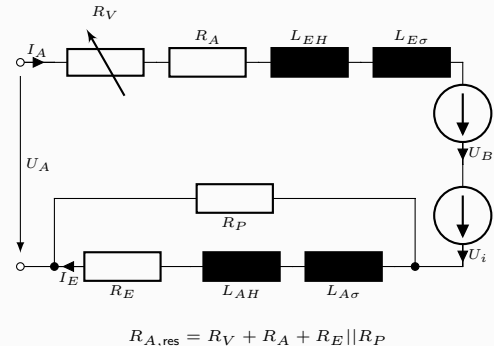
Leerlaufdrehzahl: ( $M_i = 0$ )  $n_0 = \frac{U_A - 2 \cdot U_B}{k_U \cdot \Phi_E}$

Anlaufstrom: ( $n = 0$ )  $I_{A,An} = \frac{U_A - 2 \cdot U_B}{R_{A,res}}$

$n = n_0 \cdot \left(1 - \frac{M_i}{M_{i,An}}\right)$   $M_i = M_{i,An} \cdot \left(1 - \frac{n}{n_0}\right)$

### 2.5. Gleichstrom-Reihenschlussmaschine

#### 2.5.1. ESB



### 2.5.2. Systemgleichungen

$$I_E = k_E \cdot I_A \quad \text{mit } k_E = \begin{cases} 1 & \text{für } R_P \rightarrow \infty \\ 0 & \text{für } R_P = 0 \\ \frac{R_P}{R_P + R_E} & \text{sonst} \end{cases}$$

$$\Phi_E = k_\Phi \cdot I_E = k_\Phi k_E \cdot I_A$$

$$M_i = k_M \cdot \Phi_E \cdot I_A = k_M k_\Phi k_E \cdot I_A^2$$

$$U_i = k_U \cdot \Phi_E \cdot n = k_U k_\Phi k_E \cdot I_A \cdot n$$

### 2.5.3. Drehmoment-Drehzahl-Kennlinie

$$M_i = k_M k_\Phi k_E \cdot \frac{(U_A - 2 \cdot U_B)^2}{(k_U k_\Phi k_E \cdot n + R_{A,res})^2}$$

Anlaufmoment: ( $n = 0$ )  $M_{i,An} = k_M k_\Phi k_E \cdot \left(\frac{U_A}{R_{A,res}}\right)^2$

## 3. Wechselfeld - Drehfeld

### 3.1. Größen

Stator	Index 1
Rotor	Index 2
Ordnungszahl der Oberwellen	$\nu$ [1]
elektrische Frequenz	$f$ [Hz]
elektrische Kreisfrequenz	$\omega$ $\left[\frac{\text{rad}}{\text{s}}\right]$
	$\omega = 2\pi f$
mechanische Kreisfrequenz	$\omega_m$ $\left[\frac{\text{rad}}{\text{s}}\right]$
Phasenwinkel	$\varphi$ [rad]
Strangachsenwinkel	$\vartheta$ [rad]
Strangspannung	$U_1$ [V]
Strangstrom	$I_1$ [A]
komplexe Scheinleistung	$\underline{S}$ [VA]
Wirkleistung	$P$ [W]
Blindleistung	$Q$ [Var]
Strangzahl	$m$ [1]
Windungszahl pro Strang	$w_1$ [1]
Lochzahl (Nuten pro Pol und Strang)	$q$ [1]
Nutwinkel	$\alpha_N$ [rad]
Spulenwinkel	$\alpha_{Sp}$ [rad]
Polwinkel	$\alpha_p$ [rad]
Spulenweite	$W_{Sp}$ [cm]
Zonungsfaktor	$\xi_Z$ [1]
Sehnungsfaktor	$\xi_S$ [1]
Nutslitzbreitenfaktor	$\xi_N$ [1]
Schrägungsfaktor	$\xi_{Schr}$ [1]

### 3.2. Stern & Dreieckschaltung

Sternschaltung	Dreiecksschaltung
$U_1 = \frac{U_N}{\sqrt{3}}$	$U_1 = U_N$
$I_1 = I_N$	$I_1 = \frac{I_N}{\sqrt{3}}$

### 3.3. Einfluss realer Luftspalt

Wicklungsfaktor:  $\xi(\nu) = \xi_Z(\nu) \cdot \xi_S(\nu) \cdot \xi_N(\nu)$

$$w_{eff} = w_{Sp} \cdot \xi(\nu)$$

$$\alpha_N = \frac{2\pi}{N} \quad \alpha_{Sp} = W_{Sp}(\text{absolut}) \cdot \alpha_N \quad \alpha_p = \frac{2\pi}{2p}$$

#### 3.3.1. Zonung

Erhöhung der Lochzahl  $q$   
 (Beschränkt durch  $N_{max} = \frac{D\pi}{\tau_{N,min}}$ ) mit  $\tau_{N,min} \approx 1 \text{ cm}$

$$w_{eff} = q \cdot w_{Sp} \cdot \xi_Z(\nu)$$

$$\xi_Z(\nu) = \frac{\sin\left(q \cdot \nu \cdot \frac{\alpha_N}{2} p\right)}{q \cdot \sin\left(\nu \cdot \frac{\alpha_N}{2} p\right)} = \frac{\sin\left(\nu \cdot \frac{\pi}{2} \cdot \frac{q}{Q}\right)}{q \cdot \sin\left(\nu \cdot \frac{\pi}{2} \cdot \frac{1}{Q}\right)}$$

#### 3.3.2. Sehnung

Kürzung der Spulenweite  $W_{Sp}$  (nicht bei Einsichtwicklung möglich)

$$w_{eff} = q \cdot w_{Sp} \cdot \xi_S(\nu)$$

$$\xi_S(\nu) = \sin\left(\nu \cdot \frac{\pi}{2} \cdot \frac{W_{Sp}}{\tau_p}\right) = \sin\left(\nu \cdot \frac{\alpha_{Sp}}{\alpha_p} \cdot \frac{\pi}{2}\right)$$

#### 3.3.3. Nutslitzbreite

$$w_{eff} = w_{Sp} \cdot \xi_N(\nu)$$

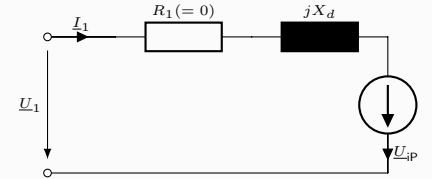
$$\xi_N(\nu) = \frac{\sin\left(\nu \cdot \frac{b_N}{D}\right)}{\nu \cdot \frac{b_N}{D}}$$

## 4. Synchronmaschine

### 4.1. Größen

Erregerstrom	$I_2$	[A]
induzierte Polradspannung	$U_{iP}$	[V]
synchrone Reaktanz	$X_d$	[Ω]
Selbstinduktivität	$L$	[H]
Koppelinduktivität (von Rotor nach Stator)	$M_{21}$	[H]
Polradwinkel	$\vartheta$	[rad]
Phasenwinkel von $\underline{Z}_1$	$\varphi_{Z1}$	[rad]
Netzleistung (Wirkleistung)	$P_1$	[W]
innere elektrische Leistung	$P_W$	[W]
Drehfeldleistung	$P_\delta$	[W]
mechanische Leistung	$P_m$	[W]
Erregerleistung	$P_E$	[W]
Leerlaufkurzschlussstrom	$\underline{I}_{K0}$	[A]
Dreisträngiger Dauerkurzschlussstrom	$\underline{I}_{KIII}$	[A]
Leerlaufkurzschlussverhältnis (LKV)	$\frac{\underline{I}_{K0}}{\underline{I}_N}$	[1]

### 4.2. ESB



$$U_1 = Z_1 \cdot I_1 + U_{iP}$$

$$Z_1 = R_1 + jX_d$$

$$X_d = X_{1h} + X_{1\sigma} = 2\pi f \cdot (L_{1h} + L_{1\sigma})$$

$$|U_{iP}| = U_{iP} = \omega M_{21} \sqrt{2} \cdot I_2$$

$$\sigma = \frac{L_{1\sigma}}{L_{1h}}$$

### 4.3. Systemgleichungen

$$\vec{u}_1 = R_1 \cdot \vec{i}_1(t) + \frac{\partial \vec{\Psi}_1(t)}{\partial t}$$

$$\vec{\Psi}_1 = L_1 \cdot \vec{i}_1(t) + M_{21} \cdot \vec{i}_2(t)$$

$$u_2 = R_2 \cdot i_2(t) + \frac{\partial \Psi_2(t)}{\partial t}$$

$$\Psi_2 = L_2 \cdot i_2(t) + 3 \cdot M_{21} \cdot (\vec{i}_1(t) e^{-jp\vartheta_m} + \vec{i}_1^*(t) e^{jp\vartheta_m})$$

### 4.4. Wichtige Gleichungen

#### 4.4.1. Synchrone Drehzahl Luftspaltfeld

$$n_{syn} = n_N = \frac{f_1}{p}$$

#### 4.4.2. Drehmoment

$$M_K \sim \frac{U_1}{f_1}$$

$$M_i = -\frac{3p}{\omega_1} \cdot \left[ \frac{U_1 \cdot U_{iP}}{Z_1} \cdot \sin(\vartheta - \varphi_{Z1}) + \frac{U_{iP}^2}{Z_1} \cdot \sin(\varphi_{Z1}) \right]$$

Kippmoment:

$$M_K = \frac{3p}{\omega_1} \cdot \frac{U_1 \cdot U_{iP}}{Z_1} = \frac{3p}{\omega_1} \cdot U_1 \cdot I_{KIII}$$

$$R_1 = 0 \Rightarrow \varphi_{Z1} = 0 \Rightarrow M_i = -M_K \cdot \sin(\vartheta)$$

#### 4.4.3. Leistung

$$\underline{S}_1 = 3 \cdot \underline{U}_1 \cdot \underline{I}_1^*$$

$$P_1 = S_1 \cdot \cos(\varphi) = 3 \cdot U_1 \cdot I_1 \cdot \cos(\varphi)$$

$$P_W = 3 \cdot U_{iP} \cdot I_1 \cdot \cos(\varphi)$$

$$P_\delta = \omega_m \cdot M_i = P_W - 3 \cdot R_1 \cdot I_1^2$$

$$P_m = 2\pi \cdot n \cdot (M_i - M_R) = \omega_m \cdot (M_i - M_R) = P_\delta - P_R$$

$$P_E = U_2 \cdot I_2$$

$$\eta = \frac{P_m}{P_1 + P_{vE}}$$

#### 4.5. Betriebsbereiche

Bei Leerlauferrregung ( $I_2 = I_{20}$ ):  $\Rightarrow U_1 = U_{iP}$

Bei linearer Leerlaufkennlinie ( $X_d = \text{const.}$ ):  $I_2 = I_{20} \cdot \frac{U_{iP}}{U_1}$

##### 4.5.1. Leerlauf ( $I_1 = 0$ )

$$I_{20} = \frac{U_{iP}}{\omega M_{21} \sqrt{2}} = \frac{U_1}{\omega M_{21} \sqrt{2}}$$

##### 4.5.2. Kurzschluss ( $U_1 = 0$ )

$$I_{KIII} = \frac{U_{iP}}{Z_1}$$

$$I_{K0} = I_{KIII}(I_{20}) = \frac{U_1}{Z_1}$$

##### 4.5.3. Betriebsarten

$\vartheta$  zwischen dem Zeiger von  $\underline{U}_1$  nach  $\underline{U}_{iP}$

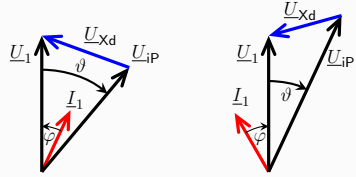
$\varphi$  zwischen dem Zeiger von  $\underline{I}_1$  nach  $\underline{U}_1$

$\underline{I}_2$  eilt  $\underline{U}_{iP}$  um  $90^\circ$  nach

**Phasenschieberbetrieb:**  $\vartheta = 0$  ( $R_1 = 0$  VZS - Betrieb am starren Netz)

- Betrieb im Leerlauf
- reine Blindleistungsabgabe bzw. -aufnahme
- $\cos(\varphi) = 0 \Rightarrow$ 
  - untererregt:  $\Rightarrow \varphi = 90^\circ$  deg
  - übererregt:  $\Rightarrow \varphi = -90^\circ$  deg

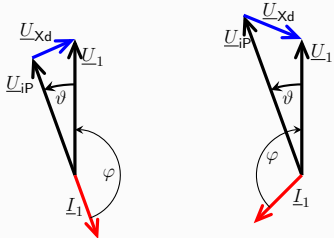
**Motorbetrieb:**  $\vartheta < 0$  ( $R_1 = 0$  VZS - Betrieb am starren Netz)



untererregt  $\varphi > 0$

übererregt  $\varphi < 0$

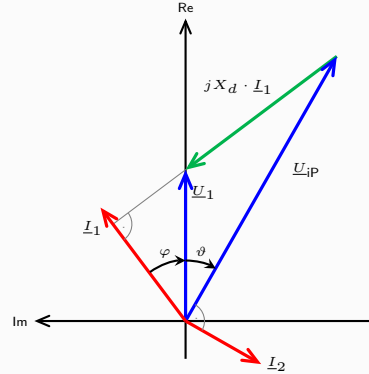
**Generatorbetrieb:**  $\vartheta > 0$  ( $R_1 = 0$  VZS - Betrieb am starren Netz)



untererregt  $\varphi > 0$

übererregt  $\varphi < 0$

#### 4.6. Zeigerdiagramm



#### 4.7. Stromortskurve

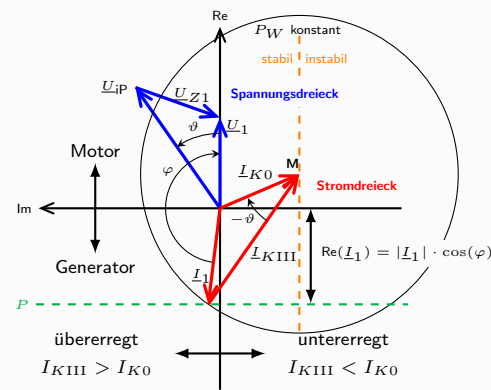
$$\underline{I}_1 = \underline{I}_{K0} - \underline{I}_{KIII}$$

$$\underline{I}_{KIII} = \frac{U_{iP}}{U_1} \cdot \underline{I}_{K0} \cdot e^{j\vartheta}$$

$$\underline{I}_{K0} = -\frac{U_1}{Z_1} \cdot j \cdot e^{j\varphi} Z_1$$

##### Stromortskurve

1.  $\underline{U}_1$  auf reelle Achse legen
2. Richtung von  $\underline{U}_{iP}$  einzeichnen
3.  $\underline{I}_{K0}$  einzeichnen  
bei  $R_1 = 0$ :  $\underline{I}_{K0}$  eilt  $\underline{U}_1$  um  $90^\circ$  nach
4. konstante Erregung: Kreis um Spitze von  $\underline{I}_{K0}$  mit Radius  $I_{KIII}$
5. Richtungen von  $\underline{I}_{KIII}$  und  $\underline{I}_1$  festgelegt durch  $\varphi$  bzw.  $\vartheta$
6. bei  $R_1 = 0$ : Verlängerung von  $\underline{U}_{iP} \perp \underline{I}_{KIII}$



#### 4.8. dq-Darstellung

##### Zeigerdiagramm

1.  $\underline{U}_1$  auf reelle Achse legen
2.  $\underline{I}_1$  einzeichnen
3. Richtung von  $\underline{U}_{iP}$  legt  $d$  und  $q$  Achse fest  
( $\vartheta = \text{unbekannt} \Rightarrow$  weiter bei Trick)
4. Zerlegung von  $\underline{I}_1$  in  $\underline{I}_d$  und  $\underline{I}_q$
5. Spannungsabfall an  $X_d = |X_d \cdot \underline{I}_d|$
6. Spannungsabfall an  $X_q = |X_q \cdot \underline{I}_q|$
7.  $\underline{U}_{iP} = \underline{U}_1 - jX_d \cdot \underline{I}_d - jX_q \cdot \underline{I}_q$

##### Trick

1.  $\vartheta = \arg(\underline{U}_1 - jX_q \cdot \underline{I}_1) \Rightarrow$  Richtungsgerade von  $\underline{U}_{iP} (||jX_d \underline{I}_d)$
2.  $\underline{U}_{iP} =$  Senkrechte von  $\underline{U}_1 - jX_d \cdot \underline{I}_d$  auf Richtungsgerade

##### 4.8.1. Systemgleichungen

$$U_d = R_1 \cdot I_d - \omega_1 L_q \cdot I_q$$

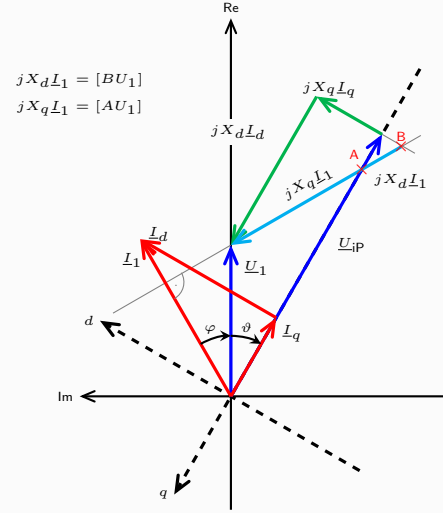
$$U_q = R_1 \cdot I_q + \omega_1 L_d \cdot I_d + \sqrt{2} \cdot U_{iP}$$

$$U_{iP} = \sqrt{2} \cdot \omega_1 M_{21} \cdot I_2$$

$$U_2 = R_2 \cdot I_2$$

$$M_i = 3 \cdot p \cdot M_{21} \cdot I_2 \cdot I_q$$

##### 4.8.2. Zeigerdiagramm



#### 4.9. Schenkelpollläufer

##### 4.9.1. Drehmoment ( $R_1 = 0$ )

$$M'_i = -\frac{m_1 \cdot p}{\omega_1} U_1 \left[ \frac{U_{iP}}{X_d} \sin(\vartheta) + \frac{U_1}{2} \left( \frac{1}{X_q} - \frac{1}{X_d} \right) \sin(2\vartheta) \right]$$

##### Reluktanzmoment (Reaktionsmoment):

$$M_r = -\frac{m_1 \cdot p}{\omega_1} \cdot \frac{U_1^2}{2} \left( \frac{1}{X_q} - \frac{1}{X_d} \right) \sin(2\vartheta)$$

Vollpolläufer entwickeln kein Reluktanzmoment wegen  $L_d = L_q$ .  
Maximales Reluktanzmoment bei  $|\vartheta| = 45^\circ$  deg.

##### 4.9.2. Systemgleichungen

$$\underline{U}_1 = \underline{U}_d + \underline{U}_q + \underline{U}_{iP}$$

$$= jX_d \cdot \underline{I}_d + jX_q \cdot \underline{I}_q + \underline{U}_{iP}$$

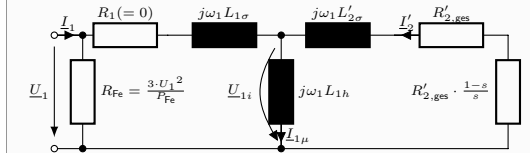
$$\underline{I}_1 = \underline{I}_d + \underline{I}_q$$

### 5. Asynchronmaschine

##### 5.1. Größen

Übersetzungsverhältnis	$\ddot{u}$	[1]
Schlupf	$s$	[1]
Kippschlupf	$s_K$	[1]
Kippmoment	$M_K$	[Nm]
Bezogener Statorwiderstand	$\rho_1$	[1]
Bezogener Rotorwiderstand	$\rho_2$	[1]
Hilfsgröße	$\Delta\rho_1$	[1]
Rotor-Statorwärmeverluste	$P_{Cu}$	[W]
Magnetisierungsstrom	$\underline{I}_{1\mu}$	[A]
Rotor-Vorwiderstand	$R'_{2V}$	[Ω]

##### 5.2. ESB



##### 5.2.1. Übersetzungsverhältnis

Bei Schleifring-ASM gilt:  $M_{21} = M_{12} = M$

$$\ddot{u} = \frac{L_{1h}}{M} = \sqrt{\frac{m_1}{m_2}} \cdot \frac{w_1 \xi_1}{w_2 \xi_2} \cdot \frac{1}{\xi_{Schr}} = \sqrt{\frac{m_1}{m_2}} \cdot \frac{w_{1,eff}}{w_{2,eff}} \cdot \frac{1}{\xi_{Schr}}$$

$$\frac{R'_{2,ges}}{U_2} = \frac{1}{\ddot{u}} \cdot \frac{U_{1i}}{U_1} \quad \frac{R'_{2,ges}}{I'_2} = \frac{1}{\ddot{u}^2} \cdot \frac{U_{1i}}{U_1} \cdot \frac{I'_2}{I_2}$$

$$R'_{2,ges} = \ddot{u}^2 \cdot R_{2,ges} \quad R'_{2,ges} = R'_2 + R'_{2V}$$

$$L'_{2\sigma} = \ddot{u}^2 \cdot (L_{2\sigma} + L_{2Schr})$$

##### 5.3. Systemgleichungen

$$\ddot{u}_1 = R_1 \cdot \ddot{i}_1 + \frac{\partial \ddot{\Psi}_1}{\partial t}, \quad \ddot{\Psi}_1 = L_1 \cdot \ddot{i}_1 + M \cdot \ddot{i}_2 \cdot e^{jp\vartheta m}$$

$$0 = R_{2,ges} \cdot \ddot{i}_2 + \frac{\partial \ddot{\Psi}_2}{\partial t}, \quad \ddot{\Psi}_2 = L_2 \cdot \ddot{i}_2 + M \cdot \ddot{i}_1 \cdot e^{-jp\vartheta m}$$

$$J \frac{d\omega}{dt} = M_i - M_R - M_L$$

## 5.4. Wichtige Größen

### 5.4.1. Schlupf

$$s = \frac{n_{\text{syn}} - n}{n_{\text{syn}}} = \frac{\omega_{\text{syn}} - \omega_m}{\omega_{\text{syn}}} = \frac{\omega_1 - p \cdot \omega_m}{\omega_1} = \frac{\omega_2}{\omega_1}$$

Gegenstrombremse	Motor	Generator
$s > 1$	$1 > s > 0$	$s < 0$

### 5.4.2. Drehzahl

synchrone Drehzahl	Nenndrehzahl
$n_{\text{syn}} = \frac{f}{p}$	$n_N = n_s(1 - s_N)$

### 5.4.3. Leistung

$$\begin{aligned} \underline{S}_1 &= m_1 \cdot \underline{U}_1 \cdot \underline{I}_1^* \\ P_1 &= S_1 \cdot \cos(\varphi) = m_1 \cdot U_1 \cdot I_1 \cdot \cos(\varphi) \\ P_{\text{Netz}} &= m_1 \cdot U_1 \cdot I_1 \cdot \cos(\varphi_N) = P_1 + P_{\text{Fe}} \\ P_\delta &= 2\pi \cdot n_{\text{syn}} \cdot M_i = P_1 - P_{\text{Cu1}} - P_{\text{Fe}} \\ P_{mi} &= (1 - s)P_\delta = P_\delta - P_{\text{Cu2}} - P_{2V} = \omega_m \cdot M_i \\ P_m &= 2\pi \cdot n \cdot (M_i - M_R) = \omega_m \cdot (M_i - M_R) = P_{mi} - P_R \\ P_{\text{Cu2}} &= s \cdot P_\delta = m_2 \cdot R_2 \cdot I_2^2 \end{aligned}$$

### 5.4.4. Phase

ASM immer induktiv  $\Rightarrow \varphi > 0$

$$\begin{aligned} \varphi &= \varphi_{1Z} - \varphi_{1N} \\ \varphi &= \begin{cases} \arctan\left(\frac{b}{a}\right) & \text{für } a > 0 \\ \arctan\left(\frac{b}{a}\right) + \pi & \text{für } a < 0, b \geq 0 \\ \arctan\left(\frac{b}{a}\right) - \pi & \text{für } a < 0, b < 0 \end{cases} \end{aligned}$$

### 5.4.5. Weitere Parameter

$$\begin{aligned} L_{1\sigma} &= \sigma_1 \cdot L_{1h} & L_1 &= L_{1h} + L_{1\sigma} \\ L_{2\sigma} &= \sigma_2 \cdot L_{1h} & L_2' &= L_{1h} \cdot (1 + \sigma_2) \\ L_\sigma &= \sigma \cdot L_1 = L_{1\sigma} + \frac{\xi_{\text{Schr.}}}{1 + \sigma_2} L_{2\sigma}' \\ \rho_1 &= \frac{R_1}{\omega_1 L_1} & \rho_2 &= \frac{R_{2,\text{ges}}'}{\omega_1 L_2'} = \frac{R_{2,\text{ges}}'}{\omega_1 L_2'} \\ \Delta\rho_1 &= \sqrt{1 + \left(\frac{\rho_1}{\sigma}\right)^2} \cdot \sqrt{1 + \rho_1^2} \\ \sigma &= 1 - \frac{1}{(1 + \sigma_1) \cdot (1 + \sigma_2)} = 1 - \frac{M^2}{L_1 L_2} \end{aligned}$$

## 5.5. Statorstrom

$$\underline{I}_1 = \frac{\underline{U}_1}{\omega_1 L_1} \cdot \frac{\rho_2 + js}{\rho_1 \cdot \rho_2 - \sigma \cdot s + j(\rho_2 + s \cdot \rho_1)}$$

Anlaufstrom:

$$I_{1A} = |\underline{I}_1|(s=1) = \frac{U_1}{\omega_1 L_\sigma} \sqrt{\frac{1 + \rho_2^2}{(1 - \frac{\rho_1 \cdot \rho_2}{\sigma})^2 + (\frac{\rho_1 + \rho_2}{\sigma})^2}}$$

Ideeller Kurzschlussstrom:

$$I_{1Ki} = |\underline{I}_1|(s \rightarrow \pm\infty) = \frac{U_1}{\omega_1 L_\sigma} \cdot \frac{1}{\sqrt{1 + \left(\frac{\rho_1}{\sigma}\right)^2}}$$

Leerlaufstrom:

$$I_{10} = |\underline{I}_1|(s=0) = \frac{U_1}{\omega_1 L_1} \cdot \frac{1}{\sqrt{1 + \rho_1^2}}$$

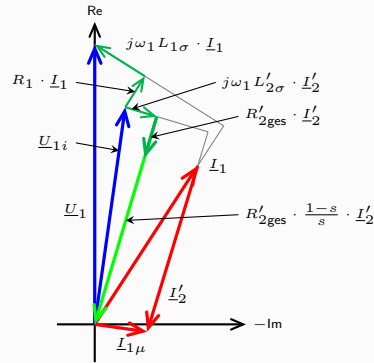
### 5.5.1. Magnetisierungstrom

$$\underline{I}_\mu = \frac{\rho_2 + j \cdot s \cdot (\sigma - \sigma_1 \cdot (1 - \sigma))}{\rho_1 \cdot \rho_2 - \sigma \cdot s + j \cdot (\rho_2 + s \cdot \rho_1)} \cdot \frac{\underline{U}_1}{\omega_1 L_1}$$

## 5.6. Zeigerdiagramm

### Zeigerdiagramm

- $\underline{U}_1$  auf reelle Achse legen und  $\underline{I}_1$  einzeichnen
- $R_1 \underline{I}_1$  (gleiche Phasenlage wie  $\underline{I}_1$ )  
 $j\omega_1 L_{1\sigma} \underline{I}_1$  (eilt  $\underline{I}_1$  um  $90^\circ$  voraus)
- $\underline{U}_{1i} = \underline{U}_1 - R_1 \underline{I}_1 - j\omega_1 L_{1\sigma} \underline{I}_1$
- $\underline{I}_{1\mu} = \frac{\underline{U}_{1i}}{j\omega_1 L_{1h}}$  (eilt  $\underline{U}_{1i}$  um  $90^\circ$  nach)
- $\underline{I}_2' = \underline{I}_{1\mu} - \underline{I}_1$
- $R_{2,\text{ges}}' \underline{I}_2'$  (parallel zu  $\underline{I}_2'$ )
- $j\omega_1 L_{2\sigma}' \underline{I}_2'$  (eilt  $\underline{I}_2'$  um  $90^\circ$  voraus)
- $R_{2,\text{ges}}' \cdot \frac{1-s}{s} \cdot \underline{I}_2' = -\underline{U}_{1i} - R_{2,\text{ges}}' \underline{I}_2' - j\omega_1 L_{2\sigma}' \underline{I}_2'$

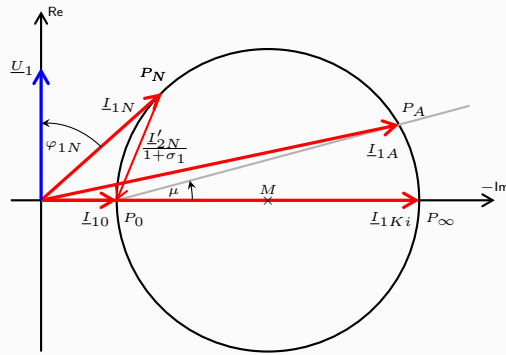


## 5.7. Stromortskurve

bei  $R_1 = 0$   $\tan(\mu) = s_K$

### Stromortskurve

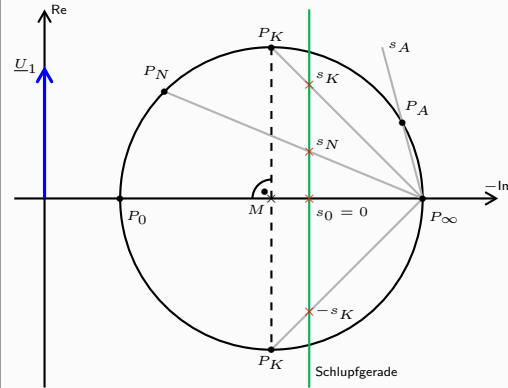
- $\underline{U}_1$  auf reelle Achse legen  $\Rightarrow \varphi_{1U} = 0$
- $R_1 = 0 \Rightarrow \underline{I}_{10}$  und  $\underline{I}_{1Ki}$  haben keinen Realteil
- Kreismittelpunkt auf Im-Achse zwischen  $\underline{I}_{1Ki}$  und  $\underline{I}_{10}$
- $\mu$  zwischen  $P_0$  und  $P_A$



## 5.7.1. Schlupfgerade

### Schlupfgerade

- Schlupfgerade an beliebiger Stelle einzeichnen
- gesuchtes  $s$  aus Längenverhältnis zu bekanntem Schlupf bestimmen



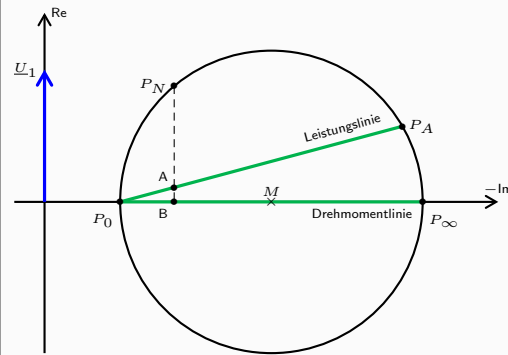
## 5.7.2. Maßstab

Strommaßstab	$m_I$	$\left[ \frac{\text{A}}{\text{cm}} \right]$
Leistungsmaßstab	$m_P = 3 \cdot U_1 \cdot m_I$	$\left[ \frac{\text{W}}{\text{cm}} \right]$
Drehmomentmaßstab	$m_M = \frac{m_P}{2\pi \cdot n_{\text{syn}}}$	$\left[ \frac{\text{Nm}}{\text{cm}} \right]$

## 5.7.3. Ablesbare Werte

Aufgenommene elektrische Leistung	$P_1 = \overline{P_B} \cdot m_P$
Kupferverluste Rotor	$P_{\text{Cu2}} = \overline{AB} \cdot m_P$
Abgegebene mechanische Leistung	$P_m = \overline{PA} \cdot m_P$
Inneres Drehmoment	$M_i = \overline{PB} \cdot m_M$

Definition Punkt B: Orthogonale Projektion von P auf Im-Achse



## 5.8. Drehmoment

$$M_K \sim \left( \frac{U_1}{f_1} \right)^2 \quad M_N \sim \Phi_\delta \frac{U_1}{f_1}$$

$$M_i = M_R + M_L + J \frac{\partial \omega}{\partial t}$$

### 5.8.1. Drehmomentgleichung

$$M_i = 3p(1-\sigma) \frac{U_1^2}{\omega_1^2 L_\sigma} \frac{s \cdot s_K}{\Delta\rho_1 s_K^2 + 2 \frac{\rho_1}{\sigma} (1-\sigma) s_K s + \Delta\rho_1 s^2}$$

Kippmoment:

$$M_K = M_i(s_K) = \frac{3}{2} p \cdot (1 - \sigma) \frac{U_1^2}{\omega_1^2 L_\sigma} \left( \frac{1}{\Delta\rho_1 + \frac{\rho_1}{\sigma} (1 - \sigma)} \right)$$

$$(R_1 = 0) : M_K = \frac{m_1 U_1 \frac{I_{1Ki} - I_{10}}{2}}{2\pi \cdot n_s}$$

$$\text{Kippschlupf: } s_K = \frac{\rho_2}{\sigma} \sqrt{\frac{1 + \rho_1^2}{1 + \left(\frac{\rho_1}{\sigma}\right)^2}}$$

$s_K > 0$  Motor  $s_K < 0$  Generator

### 5.8.2. Klossche Gleichung (Annahme $R_1 = 0$ )

$$\frac{M_i}{M_K} = \frac{2 \cdot s_K \cdot s}{s_K^2 + s^2}$$

$$s_{1,2} = s_K \frac{M_K}{M_i} \pm \sqrt{\left( s_K \frac{M_K}{M_i} \right)^2 - s_K^2}$$

Nur echte Lösung wenn gilt:  $s < s_K$